



ИПМ им.М.В.Келдыша РАН • [Электронная библиотека](#)

[Препринты ИПМ](#) • [Препринт № 52 за 2009 г.](#)



[Гавриков М.Б.](#), [Савельев В.В.](#),  
[Шмаровоз Г.В.](#)

Ускорение двухжидкостной  
плазмы в плоском канале

**Рекомендуемая форма библиографической ссылки:** Гавриков М.Б., Савельев В.В., Шмаровоз Г.В. Ускорение двухжидкостной плазмы в плоском канале // Препринты ИПМ им. М.В.Келдыша. 2009. № 52. 27 с. URL: <http://library.keldysh.ru/preprint.asp?id=2009-52>

**Ордена Ленина**  
**ИНСТИТУТ ПРИКЛАДНОЙ МАТЕМАТИКИ**  
**имени М.В. Келдыша**  
**Российской Академии наук**

**М.Б. Гавриков, В.В. Савельев, Г.В. Шмаровоз**

**Ускорение двухжидкостной плазмы в плоском  
канале**

**Москва – 2009**

**М.Б. Гавриков, В.В. Савельев, Г.В. Шмаровоз. Ускорение двухжидкостной плазмы в плоском канале.** Препринт Института прикладной математики им. М.В. Келдыша РАН, 2009, 27 страницы, 9 рисунков, библиография: 8 наименований.

В работе исследовано ускорение плазмы в плоском канале, обусловленное взаимодействием электронов и ионов, а не переменностью сечения канала. Найдены практически важные установившиеся течения, в которых мощное – в сотни раз – ускорение потока плазмы происходит в узкой, толщиной порядка инерционной длины зоне, примыкающей к входу в канал. Результаты исследования переносятся на каналы переменного сечения посредством квазиодномерного приближения, подробно рассмотренного в работе.

**M.B. Gavrikov, V.V. Savelyev, G.V.Shmarovoz. Two-fluids plasma acceleration in plane channel.** Preprint, Inst. Appl. Mathem., Russian Academy of Sciences, 2009, 27 Pages, 9 Figures, 8 References.

Here we discuss plasma acceleration in plane channel caused by ion-electron interactions, rather than the variability of the channel cross section. Research show that there are stable flows with strong – a hundreds of times – acceleration occurs in narrow, thick-order inertial length of the zone adjacent to the entrance of the channel. The results of these calculations can be used for channels with variable profiles using quasi one-dimensional approximation discussed in this paper.

## Введение

Явление ускорения потоков газа и плазмы в каналах находит многочисленные технические применения (сопла, плазменные двигатели и пр.). Однако, механизм ускорения плазмы в каналах до сих пор недостаточно изучен, отчасти потому что его исследование базировалось на (холловской) магнитной гидродинамике (МГД), в которой структура плазменного вещества не рассматривается.

Учёт двухжидкостной природы плазмы приводит к важным закономерностям течения плазмы в каналах ускорителей. Например, как показано в работе, возможны такие установившиеся течения, в которых сильное (в десятки и сотни раз) ускорение потока плазмы происходит в узкой, толщиной порядка инерционной длины  $\sim c/\omega_p$  ( $\omega_p$  – плазменная частота) зоне, примыкающей к входу в канал. Это ускорение имеет место даже в канале постоянного сечения и обусловлено взаимодействием электронов и ионов, а не переменностью сечения канала, как это обычно считается в газовой динамике и МГД. Практическая важность таких и подобных им режимов вызывает особый интерес к двухжидкостной плазмодинамике.

В работе на основе уравнений двухжидкостной электромагнитной гидродинамики (ЭМГД) изучается ускорение плазмы в плоском канале с нулевым продольным магнитным полем. Результаты исследований, используя квазиодномерные приближения, можно обобщить на каналы более сложной формы. В работе подробно обсужден принцип получения квазиодномерного приближения на примере осесимметричного канала и рассмотрена реализация этого принципа применительно к уравнениям газовой динамики.

## 1. Уравнения электромагнитной гидродинамики.

Рассмотрим установившееся течение плазмы в плоском канале длины  $l$ , стенки которого – бесконечные плоские электроды с подведенным к ним постоянным напряжением. На вход в канал подается полностью ионизованная электрон-ионная плазма с плотностью  $\rho_0$ , давлением  $p_0$  и скоростью  $U_0$ , напряженность магнитного поля на входе равна  $H_0$ . Геометрия полей и токов изображена на Рис. 1. Сила Ампера  $[\mathbf{j}, \mathbf{H}]/c$  ускоряет плазму вдоль оси канала  $Ox$ . Основная цель работы – исследовать возникающее ускорение, при этом для простоты электроны и ионы считаются идеальными политропными газами с общим показателем адиабаты  $\gamma$ .

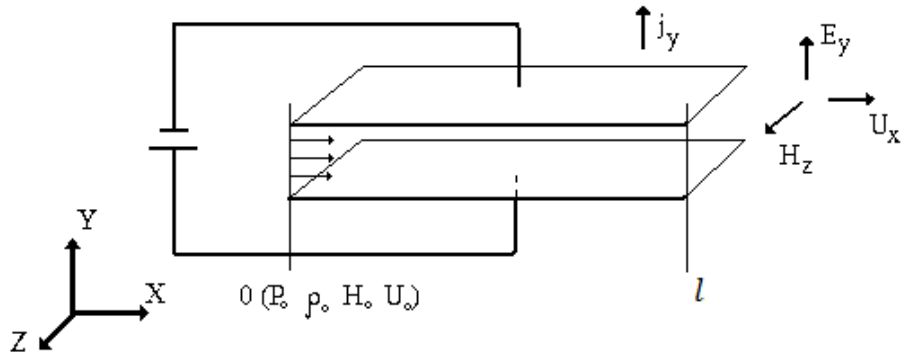


Рис.1

Необходимо подчеркнуть, что уравнения классической или холловской МГД непригодны для изучения ускорения плазмы в плоском канале – ниже станет ясно, что в МГД вопреки физической очевидности ускорение отсутствует вовсе. Поэтому исследуем ускорение плазмы на базе уравнений электромагнитной гидродинамики (ЭМГД) с учетом магнитной вязкости [1,2]:

$$\frac{\partial \rho}{\partial t} + \operatorname{div} \rho \mathbf{U} = 0, \quad \frac{\partial \rho \mathbf{U}}{\partial t} + \operatorname{Div} \Pi = 0,$$

$$\frac{dp_i}{dt} + \mathbf{U} \nabla p_i + \gamma p_i \operatorname{div} \mathbf{U} + \lambda_e \rho^{\gamma-1} \mathbf{j} \nabla \left( \frac{p_i}{\rho^\gamma} \right) = (\gamma - 1) \frac{m_e j^2}{m_\Sigma \sigma},$$

$$\frac{dp_e}{dt} + \mathbf{U} \nabla p_e + \gamma p_e \operatorname{div} \mathbf{U} - \lambda_i \rho^{\gamma-1} \mathbf{j} \nabla \left( \frac{p_e}{\rho^\gamma} \right) = (\gamma - 1) \frac{m_i j^2}{m_\Sigma \sigma}, \quad (1.1)$$

$$\frac{1}{c} \frac{\partial \mathbf{H}}{\partial t} + \text{rot} \mathbf{E} = 0, \quad \text{div} \mathbf{H} = 0, \quad \mathbf{j} = \frac{c}{4\pi} \text{rot} \mathbf{H},$$

$$\mathbf{E} + \frac{c^2 \lambda_i \lambda_e}{4\pi \rho} \text{rot} \text{rot} \mathbf{E} = \frac{\mathbf{j}}{\sigma} - \frac{1}{c} [\mathbf{U}, \mathbf{H}] + \frac{1}{\rho} \text{Div} \mathbf{W}.$$

Здесь  $\rho = \rho_i + \rho_e$ ,  $p_\Sigma = p_i + p_e$ ,  $m_\Sigma = m_i + m_e$ ,  $\lambda_e = m_e/e$ ,  $\lambda_i = m_i/(Ze)$ ,  $Z$  – кратность заряда ионов,  $\mathbf{U} = (\rho_i \mathbf{V}_i + \rho_e \mathbf{V}_e)/\rho$  – массовая скорость плазмы,  $\sigma$  – проводимость плазмы, а тензоры плотности потока импульса  $\Pi$  и холловских напряжений  $\mathbf{W}$  имеют вид:

$$\Pi = \Pi^{(h)} + \Pi^{(p)} + \Pi^{(c)},$$

$$\mathbf{W} = (\lambda_e - \lambda_i)(\Pi^{(p)} + \Pi^{(c)}) + (\lambda_e p_i - \lambda_i p_e) \mathbf{I}_3 + \lambda_i \lambda_e (\mathbf{j} \cdot \mathbf{U} + \mathbf{U} \cdot \mathbf{j}) \quad (1.2)$$

$$\Pi^{(h)} = \rho \mathbf{U} \mathbf{U} + P_\Sigma \mathbf{I}_3, \quad \Pi^{(p)} = \frac{H^2}{8\pi} \mathbf{I}_3 - \frac{\mathbf{H} \mathbf{H}}{4\pi}, \quad \Pi^{(c)} = \frac{\lambda_i \lambda_e \mathbf{j} \mathbf{j}}{\rho}$$

где  $\mathbf{I}_3$  – единичный трёхмерный тензор.

Система (1.1), (1.2) – это математически эквивалентная запись законов сохранения массы, импульса, энергии по отдельности для электронов и ионов, образующих квазинейтральный поток плазмы в квазистационарном магнитном поле. Гидродинамические плотности и скорости компонент плазмы по  $\rho$ ,  $\mathbf{U}$ ,  $\mathbf{H}$  определяются по формулам:

$$\mathbf{V}_i = \mathbf{U} + \frac{\lambda_e}{\rho} \mathbf{j}, \quad \mathbf{V}_e = \mathbf{U} - \frac{\lambda_i}{\rho} \mathbf{j}, \quad \rho_i = \frac{\lambda_i}{\lambda} \rho, \quad \rho_e = \frac{\lambda_e}{\lambda} \rho \quad (1.3)$$

где  $\lambda = \lambda_i + \lambda_e$ . Уравнения классической МГД получаются из уравнений системы (1.1), (1.2), если в них опустить все слагаемые, куда  $\rho$  входит в знаменателе, и сложить уравнения для давлений. Уравнения холловской МГД получаются из (1.1), (1.2), если положить  $m_e = 0$ ,  $\lambda_e = 0$  – тогда, в частности,  $\Pi^{(c)} = 0$ ,  $\mathbf{W} = -\lambda_i(\Pi^{(p)} + p_e \mathbf{I}_3)$ , а джоулево тепло выделяется только в электронах.

## 2. Установившиеся течения в плоском канале.

Рассмотрим для плоской геометрии ( $\partial/\partial y = \partial/\partial z = 0$ ) установившиеся ( $\partial/\partial t = 0$ ) течение плазмы в канале на Рис.1. Тогда  $j_y = -c/(4\pi) \partial H_z / \partial x$ ,  $j_x = j_z = 0$  и ЭМГД-уравнения примут вид:

$$\begin{aligned}
\frac{\partial \rho U_x}{\partial x} &= 0, \\
\frac{\partial \rho U_x^2}{\partial x} + \frac{\partial p_\Sigma}{\partial x} + \frac{1}{8\pi} \frac{\partial H_z^2}{\partial x} &= 0, \\
U_x \frac{\partial p_i}{\partial x} + \gamma p_i \frac{\partial U_x}{\partial x} &= (\gamma - 1) \frac{m_e}{m_\Sigma} \frac{c^2}{16\pi^2 \sigma} \left( \frac{\partial H_z}{\partial x} \right)^2, \\
U_x \frac{\partial p_e}{\partial x} + \gamma p_e \frac{\partial U_x}{\partial x} &= (\gamma - 1) \frac{m_i}{m_\Sigma} \frac{c^2}{16\pi^2 \sigma} \left( \frac{\partial H_z}{\partial x} \right)^2, \\
\frac{\partial E_y}{\partial x} = 0, \quad E_y &= -\frac{c}{4\pi\sigma} \frac{\partial H_z}{\partial x} + \frac{U_x H_z}{c} - \frac{c\lambda_i \lambda_e}{4\pi\rho} \frac{\partial}{\partial x} \left( U_x \frac{\partial H_z}{\partial x} \right)
\end{aligned} \tag{2.1}$$

Пренебрегая джоулевым нагревом, получим из (2.1) для нахождения функций  $\rho(x)$ ,  $U_x(x)$ ,  $H_z(x)$ ,  $p_i(x)$ ,  $p_e(x)$ ,  $E_y(x)$  уравнения:

$$\begin{aligned}
\rho U_x &= I, \quad \rho U_x^2 + p_\Sigma + \frac{H_z^2}{8\pi} = D, \\
p_e |U_x|^\gamma &= K_e, \quad p_i |U_x|^\gamma = K_i, \\
E_y &= \text{const},
\end{aligned} \tag{2.2}$$

$$\frac{c\lambda_i \lambda_e}{4\pi\rho} \frac{d}{dx} \left( U_x \frac{dH_z}{dx} \right) + \frac{c}{4\pi\sigma} \frac{dH_z}{dx} - \frac{U_x H_z}{c} + E_y = 0,$$

где  $I \neq 0$ ,  $D > 0$ ,  $K_e \geq 0$ ,  $K_i \geq 0$  – константы, определяемые состоянием плазмы на входе в канал:

$$\begin{aligned}
I &= \rho_0 U_0, \quad D = \rho_0 U_0^2 + p_0 + \frac{H_0^2}{8\pi}, \quad K_i = p_{i0} |U_0|^\gamma, \quad K_e = p_{e0} |U_0|^\gamma, \\
p_0 &= p_{i0} + p_{e0},
\end{aligned}$$

По смыслу задачи  $I > 0$ , тогда  $U_0 > 0$ , а знаки модулей в (2.2) можно опустить.

Рассмотрим сначала для простоты случай холодной плазмы ( $8\pi\rho_0 \ll H_0^2$ ). Обезразмерим систему (2.2) в этом случае, выбирая в качестве характерных масштабов плотности, скорости и напряженности магнитного поля их значения на входе в канал, а в качестве характерной напряженности

электрического поля — комбинацию  $U_0 H_0 / c$ . За характерный масштаб длины примем длину канала  $l$ . Обозначая  $U = U_x$ ,  $H = H_z$ ,  $E = E_y$ , в безразмерном виде система (2.2) с учетом  $K_e = 0$ ,  $K_i = 0$ , дает одно нелинейное обыкновенное дифференциальное уравнение для нахождения  $H(x)$ :

$$\xi^2 U \frac{d}{dx} \left( U \frac{dH}{dx} \right) + \mu \frac{dH}{dx} - UH + E = 0,$$

$$U = U(H) = 1 + \frac{1}{2M_A^2} (1 - H^2), \quad \rho = \frac{1}{U}, \quad (2.3)$$

$$H(0) = 1, \quad \frac{dH}{dx}(1) = 0, \quad E = \text{const}, \quad 0 \leq x \leq 1,$$

где числа подобия  $\xi$ ,  $M_A$ ,  $\mu$  равны:

$$\xi = \frac{c \lambda_e^{1/2} \lambda_i^{1/2}}{(4\pi\rho)^{1/2} l}, \quad \mu = \frac{c^2}{4\pi\sigma U_0 l}, \quad M_A = \frac{U_0}{V_A}, \quad V_A = \frac{H_0}{(4\pi\rho_0)^{1/2}}, \quad (2.4)$$

Граничное условие в (2.3) на правой границе  $x=l$  диктуется требование нулевого поперечного тока на выходе из канала. Условие  $\rho > 0$  выделяет из решения краевой задачи (2.3) те функции  $H(x)$ , для которых  $U(H) > 0$ , откуда  $|H| < (1 + 2M_A^2)^{1/2}$ . Отсюда вытекает, что максимальное ускорение в плоском канале равно

$$\frac{U(1)}{U(0)} \leq 1 + \frac{1}{2M_A^2}.$$

В частности, для больших альфвеновских чисел Маха на входе,  $M_A^2 \gg 1$ , ускорение ничтожно мало —  $U(1)/U(0) \cong 1$ . Параметр  $\xi$  равен отношению инерционной длины  $c/\omega_p$  ( $\omega_p = 4\pi\rho_0(\lambda_i\lambda_e)^{-1}$  — плазменная частота) к длине канала  $l$  и в  $(m_i/m_e)^{1/2}$  раз меньше известного параметра обмена [3], используемого в работах по плазменным ускорителям.

### 3. Результаты расчетов и сравнение с МГД.

Для численного решения краевой задачи (2.3) использовалась простейшая нелинейная разностная схема на равномерной сетке шагом  $h=l/N$ ,  $N=2,3\dots$  на отрезке  $[0,1]$ , решение которой ищется итерациями по нелинейности:



$$\frac{\xi^2}{h} \left\{ U \left( H_{k+\frac{1}{2}}^p \right) \frac{H_{k+1}^{p+1} - H_k^{p+1}}{h} - U \left( H_{k-\frac{1}{2}}^p \right) \frac{H_k^{p+1} - H_{k-1}^{p+1}}{h} \right\} -$$

$$-H_k^{p+1} + \frac{\mu}{U(H_k^p)} \frac{H_{k+1}^{p+1} - H_{k-1}^{p+1}}{2h} + \frac{E}{U(H_k^p)} = 0, \quad 0 < k < N, \quad (3.1)$$

$$H_0^{p+1} = 1, \quad \frac{H_N^{p+1} - H_{N-1}^{p+1}}{h} = 0.$$

Здесь  $p=0,1,2\dots$  – номер итерации по нелинейности,  $H_k^0$ ,  $0 \leq k \leq N$  – заданный начальный вектор. Вектор  $H^{p+1}$  по  $H^p$  ищется прогонкой, при этом на каждой итерации используются интерполяции:

$$U \left( H_{k+\frac{1}{2}} \right) \cong \frac{U(H_k) + U(H_{k+1})}{2}, \quad U \left( H_{k-\frac{1}{2}} \right) \cong \frac{U(H_k) + U(H_{k-1})}{2},$$

а начальный вектор  $H^0$  выбирается равным  $H_k^0 = \varphi(kh)$ ,  $0 \leq k \leq N$ , где  $\varphi(x)$  – любая гладкая функция, удовлетворяющая граничным условиям для  $H$  из (2.3). Например, можно положить  $\varphi(x) = (1-x)^2$  – от выбора  $\varphi(x)$  результаты расчета не зависят.

Рассмотрим сначала результаты расчета для нулевой магнитной вязкости  $\mu = 0$ . Тогда решение зависит от трёх констант  $\xi$ ,  $M_A$ ,  $E$ . При фиксированных  $\xi$  и  $E$  с уменьшением  $M_A$ , как показано на Рис.2, происходит значительный (в десятки и сотни раз) рост ускорения в канале. При фиксированных  $M_A$  и  $E$  с уменьшением  $\xi$ , как следует из Рис.3, наблюдается локализация ускорения в погранслое шириной  $\sim \xi$  у входа в канал, при этом растет и величина ускорения. Переход  $\xi \rightarrow 0$  соответствует МГД-пределу. При  $\xi = 0$ , т.е. в МГД-теории, задача (2.3) переопределена и в зависимости от  $\mu$  и  $E$  либо не имеет решений, либо имеет константное решение. В частности, в МГД-приближении ускорение плазмы в плоском канале отсутствует. Поскольку константы, к которым стремятся параметры установившегося течения на Рис.3 на выходе из канала, удовлетворяют МГД-уравнениям, ЭМГД-стационарное течение на выходе из канала устанавливается (пространственная переменная  $x$  играет при этом роль времени) и переходит в МГД-стационарное течение.

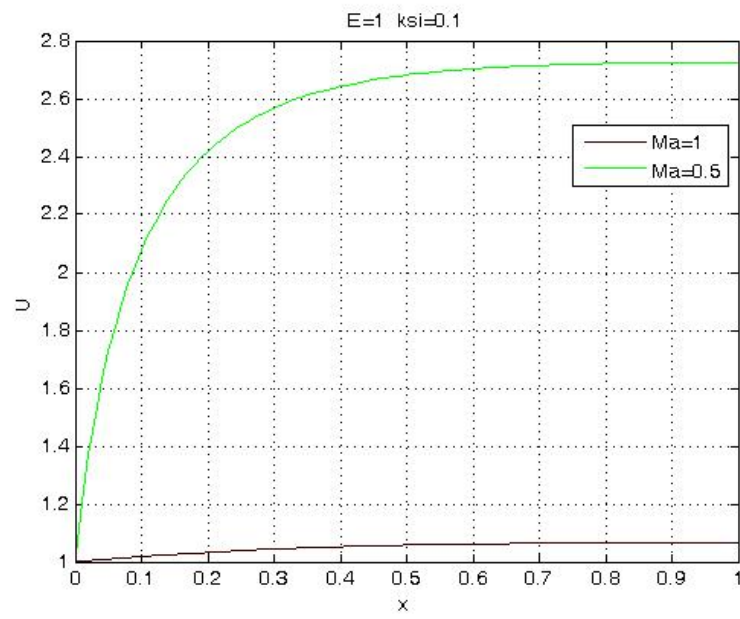
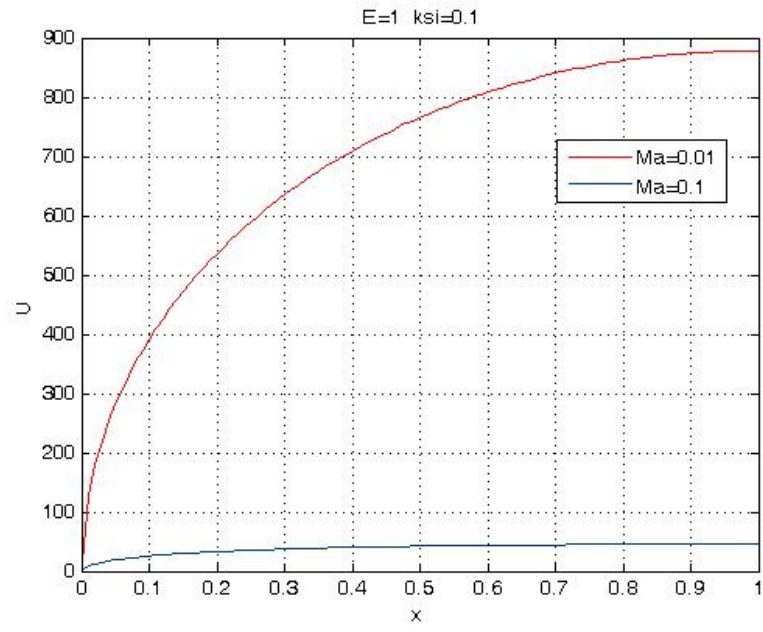


Рис.2

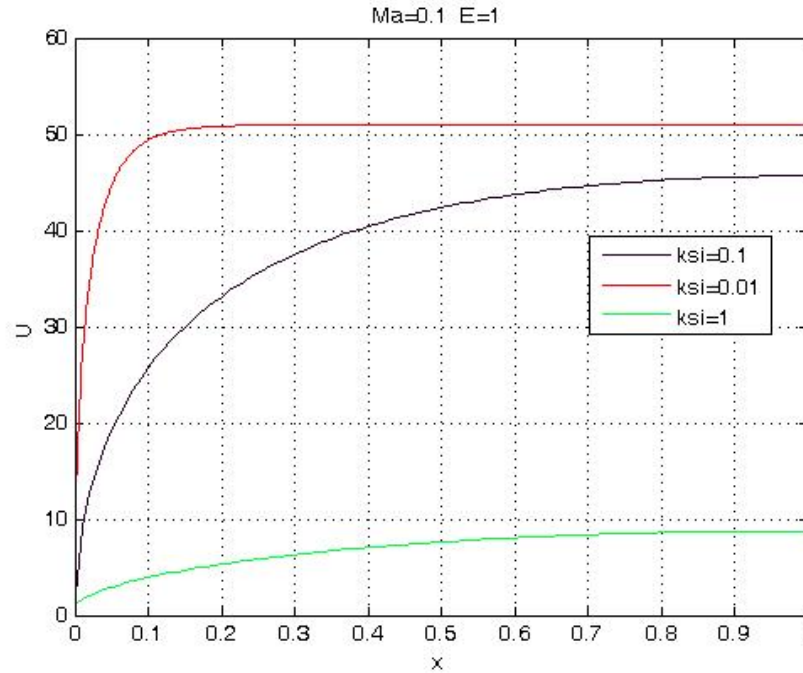


Рис.3

Учет магнитной вязкости  $\mu$  парадоксальным образом влияет на представленные результаты. Рис.4 демонстрирует не уменьшение (как и следовало ожидать), а рост ускорения плазмы и локализацию его в приграничном с входом в канал слое при увеличении магнитной вязкости  $\mu$ . В этой связи отметим возрастание роли магнитной вязкости при уменьшении параметра  $\xi$ . Формально это проявляется в преобразовании чисел подобия  $\xi \rightarrow 1$ ,  $\mu \rightarrow \mu_{eff} = \mu/\xi$  при замене переменных  $x \rightarrow x/\xi$  в задаче (2.3), так что при  $\xi \rightarrow 0$  эффективная магнитная вязкость  $\mu_{eff}$  растёт. (Для Z-пинчей эффективное увеличение магнитной вязкости в рамках МГД-теории отмечалось ещё в [8], но там оно рассматривалось как следствие турбулентности плазмы). В частности, при  $\mu=0$  указанной заменой переменных число подобия  $\xi$  можно вообще исключить из уравнения (2.3), при этом в  $1/\xi$  раз увеличивается расчетная область.

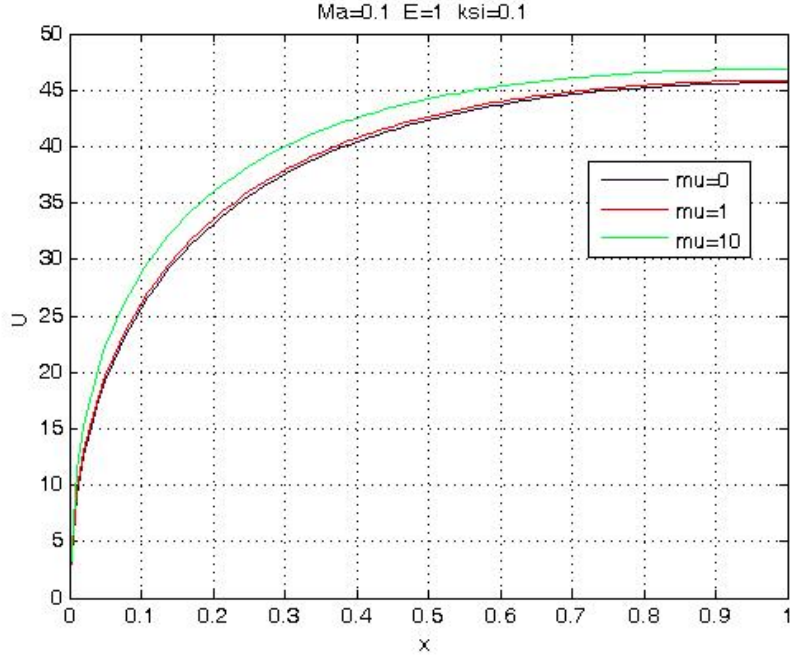


Рис.4

При  $\mu=0$  можно указать все возможные типы решения уравнения (2.3) (аналогичная задача решалась в [4] при исследовании бесстолкновительных нелинейных колебаний плазмы), а значит и соответствующей краевой задачи, если заметить, что оно имеет следующий первый интеграл «энергии»:

$$\frac{\xi^2}{2} U^2 \left( \frac{dH}{dx} \right)^2 + \Phi(H) \equiv \mathcal{E}, \quad (3.2)$$

где  $\mathcal{E}$  – произвольная константа,

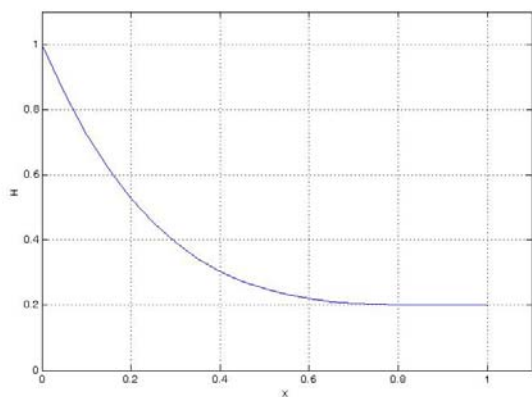
$$\Phi(H) = \int (E - HU(H)) dH = EH - \frac{1 + \kappa}{2} H^2 + \frac{\kappa}{4} H^4 + const,$$

$$U(H) = 1 + \kappa(1 - H^2), \quad \kappa = \frac{1}{2M_A^2}.$$

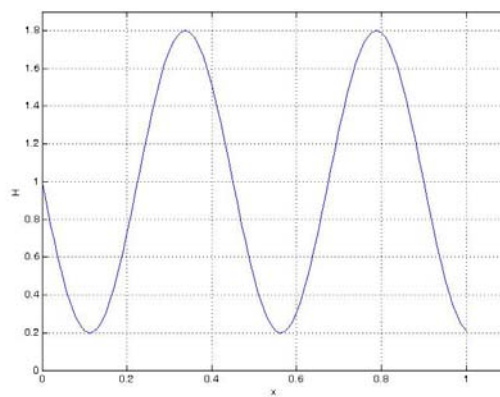
Как известно [5], решение (3.2) получается гладкой «сборкой» дуг, задаваемых уравнением, в левой части которого стоит эллиптический интеграл:

$$\pm \int \frac{\xi U(H) dH}{\sqrt{2(\mathcal{E} - \Phi(H))}} = x + const \quad (3.3)$$

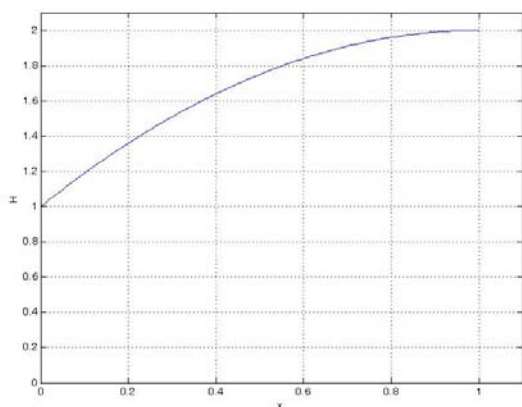
и принадлежащих потенциальной яме  $\Phi(H) \leq \varepsilon$ . Подбором констант и знаков  $\pm$  перед интегралом в (3.3) получается гладкое решение  $H(x)$  уравнения (3.2), являющееся либо периодической функцией, либо уединенной волной. При этом решение  $H(x)$  лежит в потенциальной яме, а вид решения зависит от типа пересечения (трансверсальное или нет) прямой  $\varepsilon = \text{const}$  с краями потенциальной ямы. Граничное условие (2.3) на правом конце  $x=1$  может выполняться только для периодической  $H(x)$ , поэтому возможны только 4 типа установившихся течений, приведенных на Рис.5.



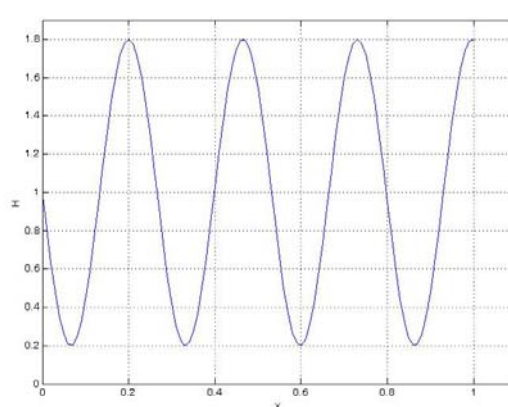
Простое ускорение



Сложное ускорение



Простая компрессия



Сложная компрессия

Рис.5.

При простом или сложном ускорении энергия магнитного поля на входе в канал преобразуется в кинетическую энергию плазмы на выходе, при этом плотность плазмы падает. При простой или сложной компрессии, наоборот, кинетическая энергия плазмы на входе преобразуется на выходе из канал в энергию магнитного поля, при этом происходит сжатие (компрессия)

плазмы. Простое ускорение и компрессия это частные случаи сложных ускорения и компрессии, которые задаются отрезками периодических кривых. Какой из перечисленных типов течений в канале реализуется, зависит от констант  $E$  и  $M_A$ . Из вида потенциальной функции  $\Phi(H)$  несложно вывести следующее необходимое условие. Пусть  $M_A < 1$ , тогда простое ускорение возможно только при

$$E < \frac{2\sqrt{1+3M_A^2}-1}{27} \left[ 3 + \frac{2}{M_A^2} + \frac{2\sqrt{1+3M_A^2}}{M_A^2} \right] = \varphi(M_A^2) \quad (3.4)$$

а простая компрессия только при

$$E > \frac{\sqrt{1+2M_A^2}+1}{4} = \psi(M_A^2) \quad (3.5)$$

Сложное ускорение и компрессия возможны только при одновременном выполнении неравенств (3.4), (3.5). Заметим, что при  $M_A < 1$  всегда  $\psi(M_A^2) > \varphi(M_A^2)$ . Приведенные условия только необходимы, но не достаточны для реализации простого (сложного) ускорения или компрессии. Достаточные условия более сложные и зависят от констант  $\xi$  и  $\varepsilon$ . Их анализ позволяет доказать единственность решения краевой задачи (2.3), которое может и не существовать.

#### 4. Учет температуры электронов и ионов.

В этом случае появится ещё одно число подобия  $M = U_0(\gamma p_0 / \rho_0)^{-1/2}$  – число Маха, и в безразмерном виде уравнение для стационарного течения плазмы в плоском канале запишется следующим образом:

$$U + \frac{1}{\gamma M^2 U \gamma} + \frac{H^2}{2M_A^2} \equiv D = 1 + \frac{1}{\gamma M^2} + \frac{1}{2M_A^2}, \quad (4.1)$$

$$\xi^2 U \frac{d}{dx} \left( U \frac{dH}{dx} \right) + \mu \frac{dH}{dx} - UH + E = 0, \quad (4.2)$$

$$H(0) = 1, \quad U(0) = 1, \quad \frac{dH}{dx}(1) = 0,$$

$$p = \frac{1}{U\gamma}, \quad \rho = \frac{1}{U}, \quad 0 \leq x \leq 1,$$

Теперь  $U$  – двухзначная функция  $H$ . Иными словами, ищется набор гладких функций  $U(x)$ ,  $H(x)$ ,  $0 \leq x \leq 1$ , которые доставляют решение краевой задаче (4.2) и при каждом  $0 \leq x \leq 1$  точка  $(H(x), U(x))$  лежит на овале

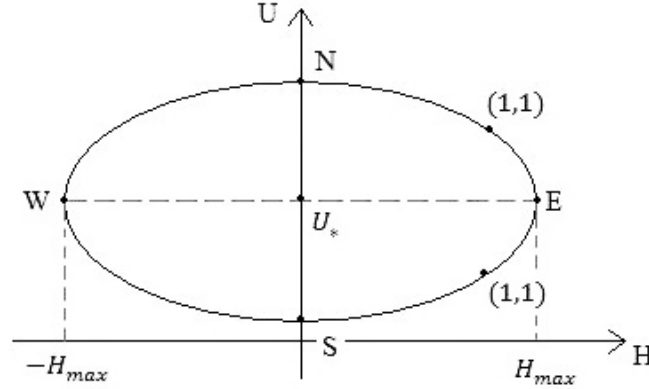


Рис.6

в плоскости  $(H, U)$ , содержащим точку  $(1, 1)$  и задаваемом уравнением (4.1). Здесь

$$H_{max} = \left[ 1 + 2M_A^2 \left( 1 + \frac{1}{\gamma M^2} - \frac{\gamma + 1}{\gamma} M^{-\frac{2}{\gamma+1}} \right) \right]^{1/2}, \quad U_* = M^{-\frac{2}{\gamma+1}}$$

Двузначность функции  $U(H)$  приводит к появлению новых типов решений краевой задаче (4.2). Можно показать [6], что при  $M \neq 1$ ,  $\mu = 0$  гладкое решение уравнений (4.2) с начальным условием  $H(0)=1$ ,  $U(0)=1$  лежит либо на открытой дуге  $\overline{NE}$ , либо на открытой дуге  $\overline{SE}$ . Первый случай реализуется для  $M > 1$  (на входе в канал поток плазмы сверхзвуковой), второй – для  $M < 1$  (входной поток – дозвуковой). В первом случае стационарные течения в плоском канале качественно ничем не отличаются от рассмотренных выше в параграфах 2,3 стационарных потоков холодной плазмы. Геометрически это проявляется в том, что в пределе холодной плазмы,  $M \rightarrow +\infty$ , верхняя дуга  $\overline{WNE}$  переходит в график параболы  $U(H) = 1 + (2M_A^2)^{-1}(1 - H^2)$ , а нижняя дуга  $\overline{WSE}$  вырождается в отрезок  $[-(1 + 2M_A^2)^{1/2}, (1 + 2M_A^2)^{1/2}]$  на оси  $H$ .

Имеет место первый интеграл «энергии»

$$\xi^2 \frac{U^2}{2} \left( \frac{dH}{dx} \right)^2 + EH + M_A^2 \frac{U^2}{2} + \frac{M_A^2}{(\gamma-1)M^2} \frac{1}{U^{\gamma-1}} = \mathcal{E}, \quad (4.3)$$

( $\varepsilon$  – произвольная константа), который при  $M \rightarrow +\infty$  (т.е. в пределе холодной плазмы) переходит в интеграл (3.2)

Интеграл (4.3) позволяет найти общее решение уравнения (4.2), если в нём сделать замену переменных, выразив  $H$  через  $U$  посредством уравнения (4.1):

$$H = f(U) = \left[ 1 + 2M_A^2 \left( 1 + \frac{1}{\gamma M^2} \right) - U - \frac{1}{\gamma M^2 U^\gamma} \right]^{1/2}, \quad U_- \leq U \leq U_+,$$

где  $U_{\pm}$  – нули подкоренного выражения (заметим, что северный и южный полюсы овала на Рис.6 имеют координаты  $N(0, U_+)$ ,  $S(0, U_-)$ ). Полученное уравнение относительно  $U(x)$ :

$$\frac{\xi^2}{2} \left( U f'(U) \frac{dU}{dx} \right)^2 + \Phi(U) = \varepsilon \quad (4.4)$$

$$\Phi(U) = E f(U) + M_A^2 \frac{U^2}{2} + \frac{M_A^2}{(\gamma - 1) M^2} \frac{1}{U^{\gamma-1}}$$

имеет особенность при старшей производной в точке  $U_*$  – единственной точке, где  $f'(U) = 0$ . Решение (4.4) в потенциальной яме, не содержащей точку  $U_*$ , дается, как и раньше, квадратурой

$$\pm \int \frac{\xi U f'(U) dU}{\sqrt{2(\varepsilon - \Phi(U))}} = x + const \quad (4.5)$$

Однако интеграл в левой части уже не будет эллиптическим.

В случае  $M > 1$  решение  $H(x) = f(U(x))$ ,  $U(x)$ , задаваемое (4.5), лежит на дуге  $\widetilde{NE}$  и дает те же тип ускорений, что и в случае холодной плазмы. При этом в кинетическую энергию укоренного движения плазмы переходит не только магнитная энергия, но и тепловая. Поэтому максимальное ускорение  $U_+/U(0) = U_+$  будет большим, чем для случая холодной плазмы. При  $\gamma = 1$  легко получить явную формулу для максимального ускорения:

$$\frac{U_+}{U(0)} = \frac{1}{2} \left\{ 1 + \frac{1}{M^2} + \frac{1}{2M^2} + \left\{ \left[ \left( 1 + \frac{1}{M} \right)^2 + \frac{1}{2M_A^2} \right] \left[ \left( 1 - \frac{1}{M} \right)^2 + \frac{1}{2M_A^2} \right] \right\}^{1/2} \right\}.$$

В случае  $M < 1$  решение лежит на дуге  $\widetilde{SE}$  и формула (4.5) задает новые ускорительные режимы, при которых тепловая энергия переходит в



кинетическую энергию плазмы и энергию магнитного поля. Максимальное ускорение  $U_*/U(0) = U_* = M^{-\frac{2}{\gamma+1}}$  не зависит от  $M_A$  и стремится  $+\infty$  к при  $M \rightarrow 0$ .

В случае горячей плазмы существуют и негладкие установившиеся течения. Так, при  $M < 1$  возможны ускорительные режимы, при которых кривая  $(H(x), U(x))$  на овале, начинаясь в точке  $(1, 1)$  на дуге  $\overline{SE}$ , проходит через точку  $E$  и попадает на дугу  $\overline{NE}$  (Рис.7):

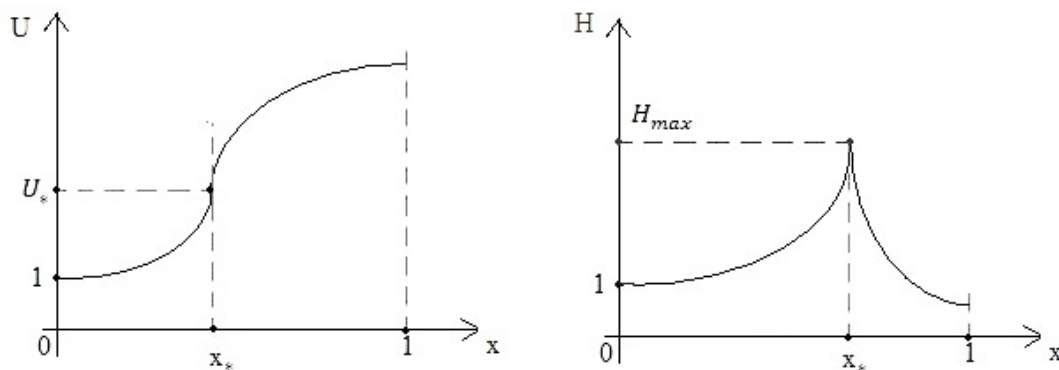


Рис.7

В некоторой точке  $x_*$  канала  $(H(x_*), U(x_*))=E$ . Ускорение потока плазмы при этом распадается на два этапа. На первом этапе  $0 \leq x \leq x_*$  тепловая энергия переходит в магнитную и кинетическую энергию плазмы, на втором – при  $x_* \leq x \leq 1$  – ускорение происходит за счет преобразования тепловой и магнитной энергии в кинетическую. При  $x = x_*$  имеем  $dU/dx = +\infty$ , а  $H(x)$  имеет излом. Подобные режим возникают, когда потенциальная яма  $\Phi(H) \leq \mathcal{E}$  содержит особую точку  $U_*$ . Если допустить негладкие решения, то теорема существования и единственности решения уравнения (4.4) будет неверна, однако решения вида, изображенного на Рис.7 с одной особенностью определяются однозначно. Детальный анализ математических аспектов рассматриваемой задачи содержится в [6].

## 5. Квазиодномерные течения.

Допустим, в каждом поперечном сечении канала параметры течения слабо меняются от точки к точке. Такие течения называются квазиодномерными. Для них средние по сечению параметры среды приближенно удовлетворяют некоторой системе уравнений в частных производных (уравнения

квазиодномерного течения) от двух переменных – времени и продольной координаты. Вывод уравнений квазиодномерных течений в МГД содержится в работах [3,7]. Наш подход основан на других идеях.

Получим уравнения квазиодномерных течений на примере осесимметричного канала с продольным направлением вдоль оси  $z$ , стенки которого – соосные цилиндрические поверхности  $r = r_{\pm}(z)$ ,  $r_+(z) > r_-(z) > 0$

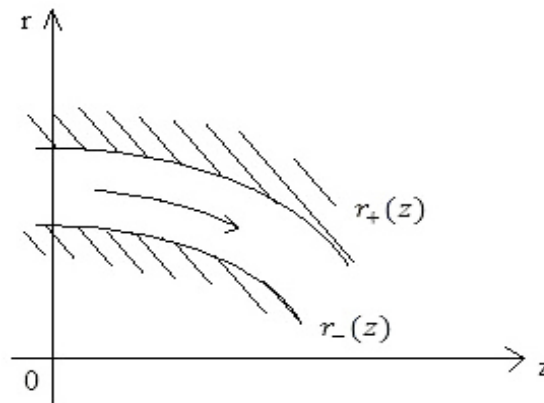


Рис. 8

Поперечное сечение такого канала – кольцо  $r_-(z) \leq r \leq r_+(z)$  площади  $S(z) = \pi(r_+^2 - r_-^2)$ . Для параметра осесимметричного ( $\partial/\partial\varphi = 0$ ) течения в канале  $f(t, r, z)$  определим среднее по сечению канала  $\hat{f}(t, z)$ :

$$\hat{f}(t, z) = \frac{1}{S(z)} \int_{r_-(z)}^{r_+(z)} 2\pi r f(t, r, z) dr = \frac{2}{r_+^2 - r_-^2} \int_{r_-(z)}^{r_+(z)} r f(t, r, z) dr \quad (5.1)$$

Следующее понятие является ключевым. Параметр  $f(t, r, z)$  называется слабо меняющимся по сечению, если  $f$  представимо в виде:

$$f(t, r, z) = F(t, R, z), \quad R = \varepsilon r, \quad 0 < \varepsilon = \varepsilon(t, z) \ll 1$$

где  $F(t, R, z)$  аналитична в нуле  $R=0$  по «медленной» переменной  $R$ . Функция  $\varepsilon(t, z)$  обычно неизвестна, поэтому разложим  $\hat{f}$  по степеням  $\varepsilon$  и получим уравнения на нулевые коэффициенты разложений.

По предположению,

$$F = F_0 + F_1 R + F_2 R^2 + \dots, \quad F_i = F_i(t, z) \quad (5.2)$$

Делая замену переменных в интеграле (5.1), получим разложение в ряд по степеням  $\varepsilon$  среднего по сечению  $\hat{f}$ :

$$\begin{aligned}\hat{f}(t, z) &= \frac{2}{r_+^2 - r_-^2} \int_{r_-(z)}^{r_+(z)} r f(t, r, z) dr = \frac{2}{R_+^2 - R_-^2} \int_{R_-(z)}^{R_+(z)} R F(t, R, z) dR = \hat{F}(t, z) = \\ &= \frac{2}{R_+^2 - R_-^2} \sum_{k=0}^{\infty} F_k \int_{R_-}^{R_+} R^{k+1} dR = \sum_{k=0}^{\infty} \varepsilon^k r_k(z) F_k,\end{aligned}\quad (5.3)$$

где  $R_{\pm}(z) = \varepsilon r_{\pm}(z)$  и

$$r_k(z) = \frac{2}{k+2} \frac{r_+^{k+2}(z) - r_-^{k+2}(z)}{r_+^2(z) - r_-^2(z)}, \quad k \geq 0 \quad (5.4)$$

(в частности,  $r_0(z) = 1$ ). Из разложения (5.3) следует важная в дальнейшем эквивалентность  $\hat{f} \sim F_0$ ,  $\varepsilon \rightarrow 0$ .

Рассмотрим следующий способ получения уравнений на осреднённые величины  $\hat{f}$ . Он состоит из нескольких этапов. Пусть дано дифференциальное уравнение, связывающее параметры осесимметричного течения в канале.

- 1) Перейдем в дифференциальном уравнении от переменных  $(t, r, z)$  к переменным  $(t, R, z)$  с учетом  $R = \varepsilon r$ ,  $\partial / \partial r = \varepsilon \partial / \partial R$  и разложим все функции в уравнении в ряды (5.2) по степеням  $R$ .
- 2) После выполнения действий над рядами проведем осреднение по переменной  $R$  на отрезке  $[R_-, R_+]$ , где  $R_{\pm} = \varepsilon r_{\pm}$ , что делается автоматически, поскольку усредняются степенные ряды по  $R$ .
- 3) Возвращаясь к функциям  $r_{\pm}$ , получим степенные ряды по  $\varepsilon$  с коэффициентами, зависящими от  $(t, z)$ . Если нулевые члены этих разложений зависят только от нулевых коэффициентов разложений (5.2), то с учетом эквивалентности  $\hat{f} \sim F_0$ ,  $\varepsilon \rightarrow 0$  получим дифференциальное уравнение на средние величины.

Если имеется система дифференциальных уравнений, то указанная процедура выполняется для каждого уравнения системы.

Продемонстрируем методу получения уравнений на средние величины на примере уравнения неразрывности

$$\frac{\partial \rho}{\partial t} + \frac{1}{r} \frac{\partial}{\partial r} (r \rho U_r) + \frac{\partial}{\partial z} (\rho U_z) = 0.$$

Ниже не делается различия в записи между функциями  $f$  и  $F$ .

1) Переходим к переменной  $R$

$$\frac{\partial \rho}{\partial t} + \frac{\varepsilon}{R} \frac{\partial}{\partial R} (R \rho U_r) + \frac{\partial}{\partial z} (\rho U_z) = 0$$

и разлагаем все функции в ряды (5.2) по степеням  $R$ :

$$\frac{\partial}{\partial t} \left( \sum_{k=0}^{\infty} \rho_k R^k \right) + \frac{\varepsilon}{R} \frac{\partial}{\partial R} \left( R \sum_{k=0}^{\infty} \rho_k R^k \sum_{s=0}^{\infty} U_{rs} R^s \right) + \frac{\partial}{\partial z} \left( \sum_{k=0}^{\infty} \rho_k R^k \sum_{s=0}^{\infty} U_{zs} R^s \right) = 0.$$

2) Выполняем действия над рядами (перемножаем ряды и почленно дифференцируем их по  $t$ ,  $R$ ,  $z$ )

$$\begin{aligned} \sum_{n=0}^{\infty} \frac{\partial \rho_n}{\partial t} R^n + \varepsilon \sum_{n=0}^{\infty} (n+1) \sum_{k+s=n} \rho_k U_{rs} R^{n-1} + \\ + \sum_{n=0}^{\infty} \frac{\partial}{\partial z} \left( \sum_{k+s=n} \rho_k U_{zs} \right) R^n = 0 \end{aligned}$$

и усредняем по  $R$  на отрезке  $[R_-, R_+]$ :

$$\begin{aligned} \sum_{n=0}^{\infty} \left[ \frac{\partial \rho_n}{\partial t} + \frac{\partial}{\partial z} \left( \sum_{k+s=n} \rho_k U_{zs} \right) \right] \frac{2}{n+2} \frac{R_+^{n+2} - R_-^{n+2}}{R_+^2 - R_-^2} + \\ + 2\varepsilon \sum_{n=0}^{\infty} \left( \sum_{k+s=n} \rho_k U_{rs} \right) \frac{R_+^{n+1} - R_-^{n+1}}{R_+^2 - R_-^2} = 0. \end{aligned}$$

3) Подставляя в последнее равенство  $R_{\pm} = \varepsilon r_{\pm}$ , получаем ряд по степеням  $\varepsilon$ :

$$\begin{aligned} \sum_{n=0}^{\infty} \left\{ \left[ \frac{\partial \rho_n}{\partial t} + \frac{\partial}{\partial z} \left( \sum_{k+s=n} \rho_k U_{zs} \right) \right] \frac{2}{n+2} \frac{r_+^{n+2} - r_-^{n+2}}{r_+^2 - r_-^2} \right. \\ \left. + 2 \sum_{k+s=n} \rho_k U_{rs} \frac{r_+^{n+1} - r_-^{n+1}}{r_+^2 - r_-^2} \right\} \varepsilon^n = 0. \end{aligned}$$

Коэффициент при  $\varepsilon^0$  зависит только от нулевых членов разложения (5.2):

$$\left[ \frac{\partial \rho_0}{\partial t} + \frac{\partial}{\partial z} \rho_0 U_{z0} + \frac{2\rho_0 U_{r0}}{r_+ + r_-} \right] \varepsilon^0 + [\dots] \varepsilon^1 + [\dots] \varepsilon^2 + \dots = 0.$$

Поэтому с точностью до членов  $\sim \varepsilon$  ( $\hat{f} \sim F_0$ ,  $\varepsilon \rightarrow 0$ ) получается следующее уравнение для средних величин:

$$\frac{\partial \hat{\rho}}{\partial t} + \frac{\partial \hat{\rho} \hat{U}_z}{\partial z} + \frac{\hat{\rho} \hat{U}_r}{r_*(z)} = 0, \quad r_*(z) = \frac{r_+(z) + r_-(z)}{2} \quad (5.5)$$

где  $r_*(z)$  – средний радиус канала.

Прежде чем привести примеры усреднения систем уравнений, рассмотрим роль граничных условий на стенках канала. Пусть для определённости это условия непротекания:  $U_n = 0$ . Касательные вектора к стенкам канала на плоскости  $(z, r)$  имеют вид  $(1, r'_\pm(z))$ , а нормальные –  $(-r'_\pm(z), 1)$ . Поэтому условия непротекания сводятся к равенствам:

$$U_r|_{r=r_\pm} = U_z|_{r=r_\pm} r'_\pm(z)$$

Подставляя в эти равенства разложения (5.2), получим:

$$(U_{r0} + \varepsilon r_\pm U_{r1} + \varepsilon^2 r_\pm^2 U_{r2} + \dots) = (U_{z0} + \varepsilon r_\pm U_{z1} + \varepsilon^2 r_\pm^2 U_{z2} + \dots) r'_\pm(z).$$

Откуда для нулевых членов разложения следуют равенства:

$$U_{r0} = U_{z0} r'_+(z), \quad U_{r0} = U_{z0} r'_-(z).$$

Поскольку  $U_{r0}, U_{z0}$  не зависят от  $r_\pm(z)$ , то, вычитая одно из другого, приходим к соотношению:

$$U_{z0} (r_+ - r_-)' \equiv 0.$$

Исключая тривиальный случай  $U_{z0} \equiv 0$ , получим

$$r_+(z) - r_-(z) \equiv h = \text{const.}$$

Таким образом, для справедливости условий непротекания на верхней и нижней стенках канала, необходимо, чтобы последний имел произвольную, но постоянную ширину  $h > 0$ . В частности,

$$r_\pm(z) = r_*(z) \pm \frac{h}{2}, \quad S(z) = \pi(r_+^2 - r_-^2) = 2\pi r_*(z)h.$$

И мы получим:

$$\widehat{U}_r = \widehat{U}_z r'_*(z) \quad (5.6)$$

Подставляя (5.6) в усреднённое уравнение неразрывности (5.5), получим:

$$\frac{\partial \widehat{\rho} r_*}{\partial t} + \frac{\partial \widehat{\rho} \widehat{U}_z r_*}{\partial z} = 0 \Leftrightarrow \frac{\partial \widehat{\rho} S}{\partial t} + \frac{\partial \widehat{\rho} \widehat{U}_z S}{\partial z} = 0 \quad (5.7)$$

В тоже время для стационарных течений соотношение (5.6) можно рассматривать как дифференциальное уравнение для нахождения формы канала  $r_*(z)$ :

$$\frac{dr_*}{dz} = \frac{\widehat{U}_r}{\widehat{U}_z} \quad (5.8)$$

Таким образом, в нашем подходе форма канала не может быть произвольной, а ищется вместе с нахождением средних величин.

## 6. Квазиодномерное приближение в газовой динамике.

Рассмотрим осесимметричное течение идеального политропного газа с показателем адиабаты  $\gamma$  в осесимметричном канале, изображенном на Рис.8.

Уравнения газовой динамики в этом случае имеют вид:

$$\begin{aligned} \frac{\partial \rho}{\partial t} + \frac{1}{r} \frac{\partial}{\partial r} (r \rho U_r) + \frac{\partial \rho U_z}{\partial z} &= 0, \\ \frac{\partial \rho U_r}{\partial t} + \frac{1}{r} \frac{\partial}{\partial r} (r \rho U_r^2) + \frac{\partial}{\partial z} (\rho U_r U_z) + \frac{\partial p}{\partial r} &= 0, \\ \frac{\partial \rho U_z}{\partial t} + \frac{1}{r} \frac{\partial}{\partial r} (r \rho U_r U_z) + \frac{\partial}{\partial z} (\rho U_z^2) + \frac{\partial p}{\partial z} &= 0, \\ \frac{\partial p}{\partial t} + U_r \frac{\partial p}{\partial r} + U_z \frac{\partial p}{\partial z} + \gamma p \left( \frac{1}{r} \frac{\partial r U_r}{\partial r} + \frac{\partial U_z}{\partial z} \right) &= 0. \end{aligned} \quad (6.1)$$

Квазиодномерное приближение для системы (6.1), полученное по методу пункта 5, имеет вид:

$$\begin{aligned}
\frac{\partial \rho r_*}{\partial t} + \frac{\partial \rho U_z r_*}{\partial z} &= 0, \\
\frac{\partial \rho U_r r_*}{\partial t} + \frac{\partial \rho U_r U_z r_*}{\partial z} &= 0, \\
\frac{\partial \rho U_z r_*}{\partial t} + \frac{\partial \rho U_z^2 r_*}{\partial z} + r_* \frac{\partial p}{\partial z} &= 0, \\
\frac{\partial r_* p}{\partial t} + r_* U_z \frac{\partial p}{\partial z} + \gamma p \frac{\partial r_* U_z}{\partial z} &= 0, \\
\frac{dr_*}{dz} &= \frac{U_r}{U_z},
\end{aligned} \tag{6.2}$$

где  $r_* = (r_+ + r_-)/2$  – средний радиус канала, на стенках предполагается условие непротекания и тогда, как следует из результатов параграфа 5,  $r_{\pm}(z) = r_*(z) \pm h/2$  где  $h > 0$  – произвольная величина.

Рассмотрим установившиеся квазиодномерные течения. Полагая в (6.2)  $\frac{\partial}{\partial t} = 0$ , получим из первых двух уравнений

$$\rho U_z r_* \equiv I, \quad U_r = \text{const.}$$

Подставляя в третье и четвертое уравнения (6.2)  $r_* = I/(\rho U_z)$ , получим

$$U_z \frac{dU_z}{dz} + \frac{1}{\rho} \frac{dp}{dz} = 0, \quad \frac{dp}{dz} - \frac{\gamma p}{\rho} \frac{d\rho}{dz} = 0.$$

Из последнего уравнения следует  $p = C \rho^\gamma$ ,  $C > 0$ . Тогда оставшееся уравнение даёт

$$\frac{U_z^2}{2} + C \frac{\gamma}{\gamma - 1} \rho^{\gamma-1} \equiv D.$$

Таким образом,  $U_z$  и  $r_*$  являются явными функциями  $\rho$ . Подставляя эти функции в последнее уравнение системы (6.2), получим дифференциальное уравнение для нахождения  $\rho(z)$ . Дальнейший анализ удобно провести, приведя все величины к безразмерному виду и приняв параметры газа на входе в канал за характерные:

$$U_0 = U_z(0), \quad p_0 = p(0), \quad \rho_0 = \rho(0), \quad R_* = r_*(0).$$

Характерный масштаб длины – длина канала  $l$ . Тогда

$$I = \rho_0 U_0 R_*, \quad C = \frac{p_0}{\rho_0^\gamma}, \quad D = \frac{U_0^2}{2} + \frac{C_s^2}{\gamma - 1}, \quad C_s = \left( \frac{\gamma p_0}{\rho_0} \right)^{1/2}.$$

И в безразмерном виде полученные выше первые интегралы запишутся так:  
( $U = U_z$ )

$$\rho U r_* = \xi, \quad p = \rho^\gamma, \quad M^2 \frac{U^2}{2} + \frac{\rho^{\gamma-1}}{\gamma - 1} = \frac{M^2}{2} + \frac{1}{\gamma - 1},$$

где  $\xi = R_*/l$ ,  $M = U_0 / C_s$  – число Маха.

Отсюда:

$$r_* = \frac{\xi}{\rho U(\rho)}, \quad U(\rho) = \left[ 1 + \frac{2}{\gamma - 1} \frac{1}{M^2} - \frac{2}{\gamma - 1} \frac{1}{M^2} \rho^{\gamma-1} \right]^{1/2}.$$

Подставляя эти выражения в последнее оставшееся уравнение системы (6.2)

$$\frac{dr_*}{dz} = \frac{U_r}{U}$$

Получим

$$U(\rho) \frac{d}{dz} \left( \frac{1}{\rho U(\rho)} \right) = \frac{U_r}{\xi}.$$

Левая часть равна  $-d\Phi(\rho)/dz$ , где

$$\Phi(\rho) = \int \frac{1 + \frac{2}{\gamma - 1} \frac{1}{M^2} - \frac{\gamma + 1}{\gamma - 1} \frac{1}{M^2} \rho^{\gamma-1}}{\rho^2 \left[ 1 + \frac{2}{\gamma - 1} \frac{1}{M^2} - \frac{2}{\gamma - 1} \frac{1}{M^2} \rho^{\gamma-1} \right]} d\rho.$$

Отсюда получается равенство  $\Phi(\rho) = -\frac{U_r}{\xi} z + const$ , где  $const$  определяется условием: при  $z = 0$   $\rho = 1$ . Откуда получается окончательная формула:

$$F(\rho) = \int_1^\rho \frac{1 + \frac{2}{\gamma - 1} \frac{1}{M^2} - \frac{\gamma + 1}{\gamma - 1} \frac{1}{M^2} \rho^{\gamma-1}}{\rho^2 \left[ 1 + \frac{2}{\gamma - 1} \frac{1}{M^2} - \frac{2}{\gamma - 1} \frac{1}{M^2} \rho^{\gamma-1} \right]} d\rho = -\frac{U_r}{\xi} z, \quad 0 \leq z \leq 1 \quad (6.3)$$

$\rho(z)$  получается обращением функции  $F(\rho)$ . Функция  $F(\rho)$  изображена на Рис.9



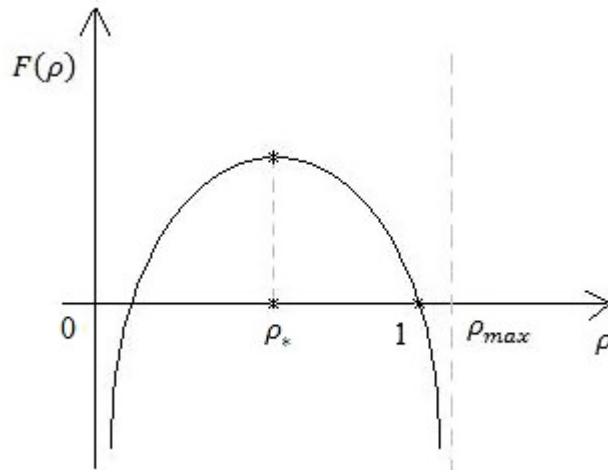


Рис.9

Она достигает максимума в точке  $\rho_* = \left[ \frac{2}{\gamma+1} \left( \frac{\gamma-1}{2} M^2 + 1 \right) \right]^{\frac{1}{\gamma-1}}$  и определена на интервале  $(0, \rho_{max})$ ,  $\rho_{max} = \left( \frac{\gamma-1}{2} M^2 + 1 \right)^{\frac{1}{\gamma-1}}$ , при  $\rho \rightarrow 0+$ ,  $\rho \rightarrow \rho_{max} - 0$   $F(\rho)$  стремится к  $-\infty$ . Слева от  $\rho_*$   $F(\rho)$  монотонно возрастает, справа – монотонно убывает. Наконец, одна из точек пересечения графика  $F(\rho)$  с осью  $\rho$  равна 1. Если  $\rho_* < 1$ , то  $M < 1$  (входной поток дозвуковой). Если  $\rho_* > 1$ , то  $M > 1$  (входной поток сверхзвуковой).

Проанализируем ситуацию для  $M < 1$  – входной поток дозвуковой. Тогда при  $U_r > 0$  решение (6.3) задает монотонно возрастающую функцию  $\rho(z)$  и, значит,  $U(z)$  монотонно убывает – поток газа тормозится и при этом сжимается. Однако компрессия незначительная – максимально достижимое сжатие не превосходит  $\rho_{max} \leq \left( \frac{\gamma+1}{2} \right)^{\frac{1}{\gamma-1}}$ , что касается торможения – оно может достичь существенной величины и поток газа на выходе из канала имеет почти нулевую скорость. При  $U_r < 0$  решение (6.3) задает монотонно убывающую функцию  $\rho(z)$  и, значит,  $U(z)$  монотонно возрастает – поток газа ускоряется. Максимальное ускорение  $U(\rho_*) = \left[ \frac{\gamma-1}{\gamma+1} \left( 1 + \frac{2}{\gamma-1} \frac{1}{M^2} \right) \right]^{\frac{1}{2}}$  при  $M \ll 1$  имеет порядок  $\sqrt{\frac{2}{\gamma+1} \frac{1}{M}}$  и может быть значительным. Здесь возникает два случая. Если

$$\frac{|U_r|}{\xi} = \frac{|U_r|l}{U_0 R_*} \leq \int_1^{\rho_*} \frac{1 + \frac{2}{\gamma-1} \frac{1}{M^2} - \frac{\gamma+1}{\gamma-1} \frac{1}{M^2} \rho^{\gamma-1}}{\rho^2 \left[ 1 + \frac{2}{\gamma-1} \frac{1}{M^2} - \frac{2}{\gamma-1} \frac{1}{M^2} \rho^{\gamma-1} \right]} d\rho \quad (6.4)$$

то имеем гладкое решение в канале типа конфузора, при котором происходит ускорение потока газа. В случае знака равенства в (6.4) на выходе из канала получим поток газа со звуковой скоростью. Если условие (6.4) нарушается, то гладкое решение, вычисляемое по (6.3) имеет место при  $0 \leq z \leq z_*$ , где

$$z_* = \frac{\xi}{|U_r|} \int_1^{\rho_*} \frac{1 + \frac{2}{\gamma-1} \frac{1}{M^2} - \frac{\gamma+1}{\gamma-1} \frac{1}{M^2} \rho^{\gamma-1}}{\rho^2 \left[ 1 + \frac{2}{\gamma-1} \frac{1}{M^2} - \frac{2}{\gamma-1} \frac{1}{M^2} \rho^{\gamma-1} \right]} d\rho < 1.$$

При  $z = z_*$  скорость  $U$  потока газа звуковая. Для восстановления решения при  $z_* \leq z \leq 1$  надо использовать левую ветвь функции  $F(\rho)$ , изменив знак у  $U_r$ :

$$F(\rho) = \int_1^{\rho} \frac{1 + \frac{2}{\gamma-1} \frac{1}{M^2} - \frac{\gamma+1}{\gamma-1} \frac{1}{M^2} \rho^{\gamma-1}}{\rho^2 \left[ 1 + \frac{2}{\gamma-1} \frac{1}{M^2} - \frac{2}{\gamma-1} \frac{1}{M^2} \rho^{\gamma-1} \right]} d\rho = \frac{2|U_r|z_*}{\xi} - \frac{|U_r|z}{\xi}.$$

Тогда при  $z = z_*$ ,  $\rho = \rho_*$  и при увеличении  $z$  функция  $\rho(z)$  монотонно убывает, а значит  $U(z)$  монотонно растёт. Теперь поток газа сверхзвуковой. При  $z = z_*$   $U_r$  скачком изменяется, так что канал  $r_*(z)$  имеет излом. Однако

$$\left. \frac{dr_*(z)}{dz} \right|_{z=z_*+0} = \frac{|U_r|}{U(z_*)}, \quad \left. \frac{dr_*(z)}{dz} \right|_{z=z_*-0} = -\frac{|U_r|}{U(z_*)},$$

но  $U(z_*) = U(\rho_*) = \left[ \frac{\gamma-1}{\gamma+1} \left( 1 + \frac{2}{\gamma-1} \frac{1}{M^2} \right) \right]^{\frac{1}{2}}$  и при  $M \ll 1$

$$r_*'(z_* + 0) \cong 0 \cong r_*'(z_* - 0),$$

поэтому изломом можно пренебречь. Физически образование излома означает, что в рамках квазиодномерного приближения нельзя описать разворот потока в узком горле сопла Лавалья.

### Список литературы

1. Гавриков М.Б. Основные уравнения двухжидкостной электромагнитной гидродинамики. Часть I. // Препринты ИПМ им. М.В. Келдыша РАН. 2006. №59. 28с.
2. Гавриков М.Б., Сорокин Р.В. Однородные деформации двухжидкостной плазмы с учетом инерции электронов. // Изв. АН Механика жидкости газа. 2008. Т.6. с.156-169.
3. Морозов А.И., Соловьев Л.С. Стационарные течения плазмы в магнитном поле. // Вопросы теории плазмы. Под ред. М.А.Леонтовича. М.: Атомиздат. 1974. Вып.8. с.87-158.
4. Adlam J.H., Allen J.E. Phil Mag. **3**, 448 (1958)
5. Арнольд В.И. Обыкновенные дифференциальные уравнения. // Ижевск: ИРТ, 2000. 367с.
6. Гавриков М.Б. Стационарные нелинейные волны в квазинейтральной плазме. // Препринты ИПМ им. М.В. Келдыша АН СССР. 1990. №79. 28с.
7. Брушлинский К.В. Математические и вычислительные задачи магнитной газодинамики. // М.: БИНОМ. Лаборатория знаний. 2009. 200с.
8. Дьяченко В.Ф., Имшенник В.С. Двумерная магнитогидродинамическая модель плазменного фокуса Z-пинча. // Вопросы теории плазмы. Под ред. М.А.Леонтовича. М.: Атомиздат. 1974. Вып.8. с.164-256.